# Моделирование систем 2005. №1(9)

УДК 548.4

© 2005 г. **Е.А. Ванина**, канд. физ.-мат. наук, **И.В. Гопиенко**, **А.С. Калашников**, **А.Н. Чибисов** 

(Амурский государственный университет, Благовещенск)

# РАСЧЕТ ЭНЕРГИИ ДЕФЕКТООБРАЗОВАНИЯ С ИСПОЛЬЗОВАНИЕМ ПАКЕТА ПРОГРАММ FHI96MD

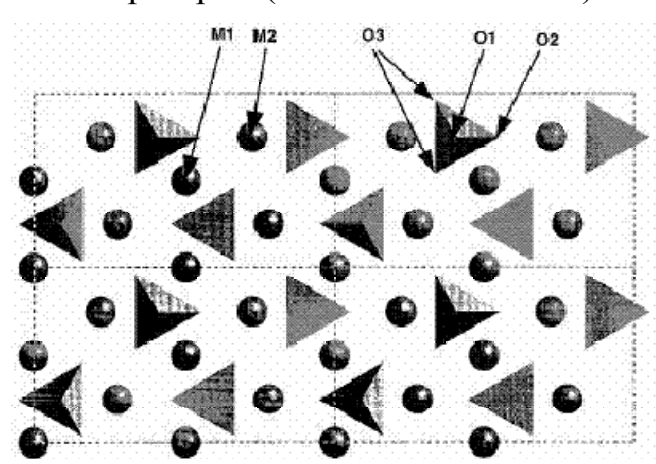
Для кристаллов форстерита с помощью программного пакета FHI96MD рассчитаны энергетические характеристики связи атомов в кристалле, энергии дефектообразования и ширина запрещенной зоны.

#### Введение

Кристаллы форстерита, легированные хромом, широко применяются в устройствах квантовой электроники в качестве пассивных затворов и активных элементов перестраиваемых твердотельных лазеров [1]. Особое внимание уделяется структурному совершенству лазерных кристаллов, поскольку наличие большого числа структурных дефектов ухудшает оптические свойства кристаллов.

Целью данной работы является уточнение энергетических характеристик связи атомов и дефектообразования в кристалле форстерита.

Форстерит (семейство оливина) относится к ортосиликатам с изоли-



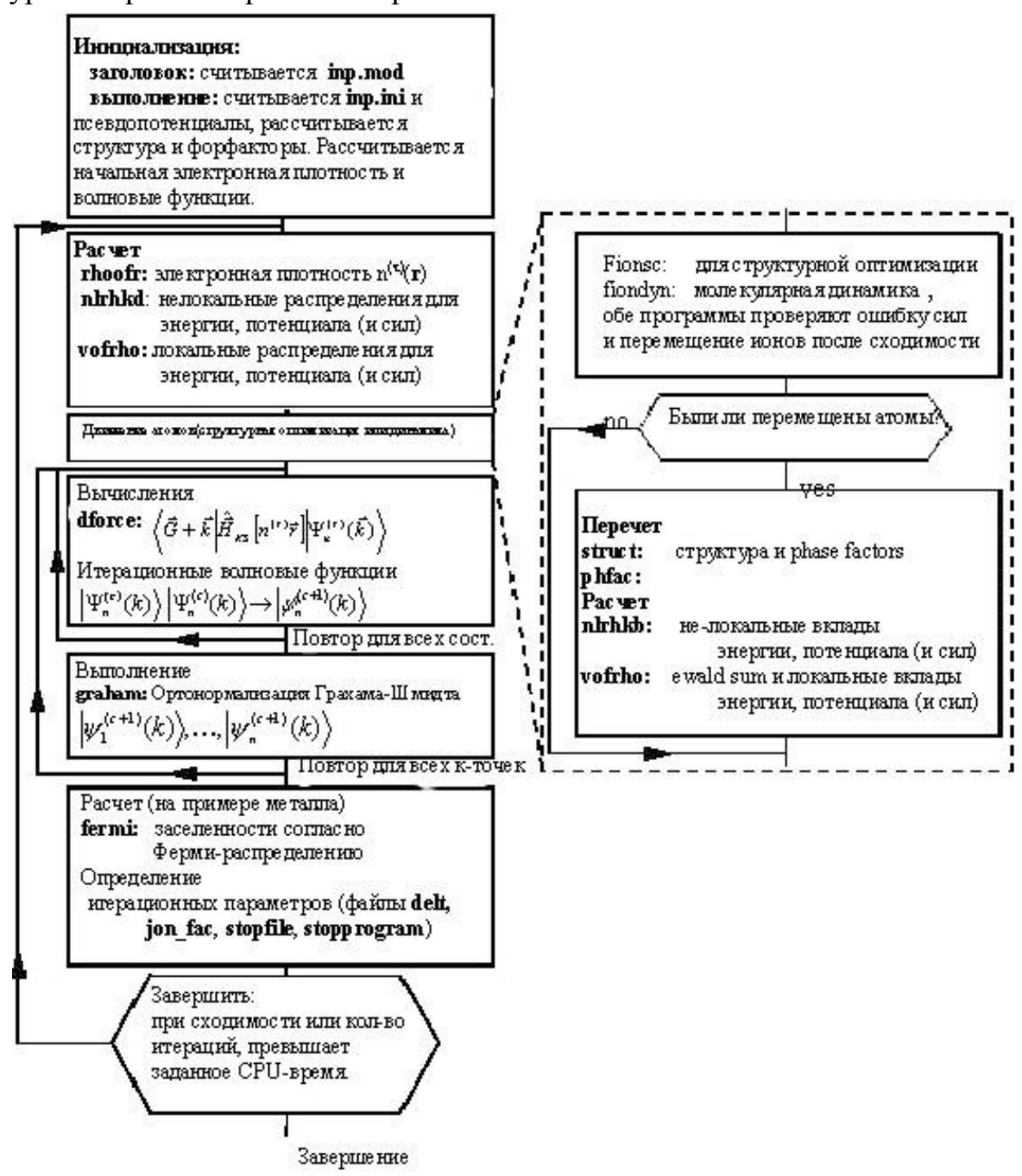
*Рис. 1.* Кристаллическая структура кристаллов форстерита.

рованным (рис. 1) расположением отдельных тетраэдров  $[SiO_4]$ . Кристалл имеет пространственную группу симметрии Pbnm. В кристаллической структуре форстерита  $Mg_2SiO_4$  ионы  $O^{2-}$  образуют несколько искаженную гексагональную плотнейшую упаковку, половина октаэдрических пустот заполнена катионами  $Mg^{2+}$ , и 1/8 тетраэдрических пустот — катионами  $Si^{4+}$ .

В форстерите атомы магния занимают две кристаллографически неэквивалентные октаэдрические позиции: одна половина атомов находится в октаэдрах с центром инверсии  $C_i$  (как M1), а другая — в октаэдрах с плоскостью зеркальной симметрии  $C_s$  (как M2); а атомы кремния находятся в изолированных тетраэдрических позициях с зеркальной  $C_s$  симметрией [4].

#### Метод и детали вычислений

Для расчета мы использовали пакет программы FHI96MD [5], структура которой изображена на рис. 2.



*Puc. 2.* Блок-схема программы fhi96md.

Пакет представляет собой эффективный инструмент для проведения полноэнергетических расчетов многоатомных систем, таких как молекулы, кристаллы, дефекты в кристаллах и другие структуры.

В пакете реализован метод функционала электронной плотности (DFT) [6, 7], включающий возможность использования псевдопотенциалов и плоских волн.

Метод функционала электронной плотности относится к так называемым ab initio, или методам из первых принципов. Это класс методов, который основан только на уравнениях и законах квантовой механики, и при расчетах в них не используются различные параметры и приближения, взятые из эксперимента (что характерно для полуэмпирических методов). Работает теория функционала электронной плотности в рамках адиабатического приближения Борна-Оппенгеймера.

Программа использует методы зонной структуры и позволяет транслировать заданную геометрию элементарной ячейки, что дает возможность распространить расчеты на бесконечный кристалл.

Для вычисления обменной и корреляционной энергии использовалось градиентное приближение в форме, предложенной Педью и Вэнгом (Perdew, Wang: PW91) [8]. Псевдопотенциалы конструировались по методике Труллера-Мартинса (Troullier, Martins) [9] с помощью программы FHI98PP [10]; они были испытаны на отсутствие ложных состояний [ghost states] и проверены на способность воспроизвести основные решеточные характеристики объемных материалов (постоянную решетки и модуль упругости).

# Обсуждение результатов

Элементарная ячейка форстерита содержит 28 атомов, то есть 8 атомов магния Mg, 4 атома кремния Si и 16 атомов кислорода О. В элементарной ячейке форстерита начальные координаты атомов магния, кремния и кислорода соответствовали экспериментальным значениям [11]. Производилась релаксация атомной системы. Для этого подбирались такие значения параметров элементарной ячейки, при которых значение полной энергии системы минимально. В табл. 1 приведены равновесные значения параметров и объема ячейки.

На рис. 3-6 показаны зависимости полной энергии системы от равновесных значений параметров и объема ячейки. Разброс рассчитанных данных аппроксимировался выражением:

$$E_{fit} = A_1 d^2 + A_2 d + A_3, (1)$$

где значения подгоночных параметров  $A_1$ ,  $A_2$  и  $A_3$  для постоянных ячейки a,b,c и объема V определялись при минимальном среднеквадратичном отклонении и приведены в табл. 2.

Таблица 1

Параметры	Расчет	Эксперимент	Объем яче	йки
ячейки		Å	V, Å <sup>3</sup>	
	Å	[12]	Эксп.	Данные
			данные	[12]
а	4.805	4.733		
b	10.256	10.210	299.13	289.75
С	6.070	5.996	1	

# Таблица 2

Параметры ячейки	$A_I$	$A_2$	$A_3$
а b с	51.684 eV/E <sup>2</sup> 35.477 eV/E <sup>2</sup> 15.492 eV/E <sup>2</sup>	-496.644 eV/E -727.703 eV/E -188.074 eV/E	-6381.811 eV -3843.267 eV -7004.011 eV
Объем ячейки V	$0.011 \text{ eV}/\text{\AA}^2$	-6.786 eV/Å	-6560.480 eV

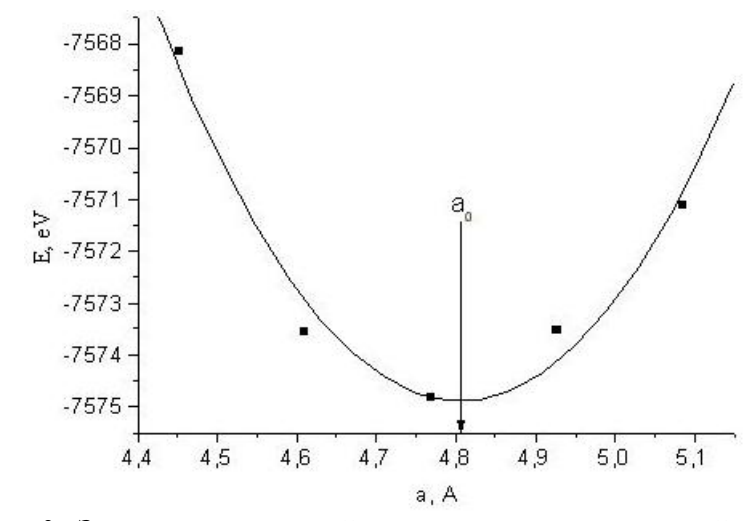
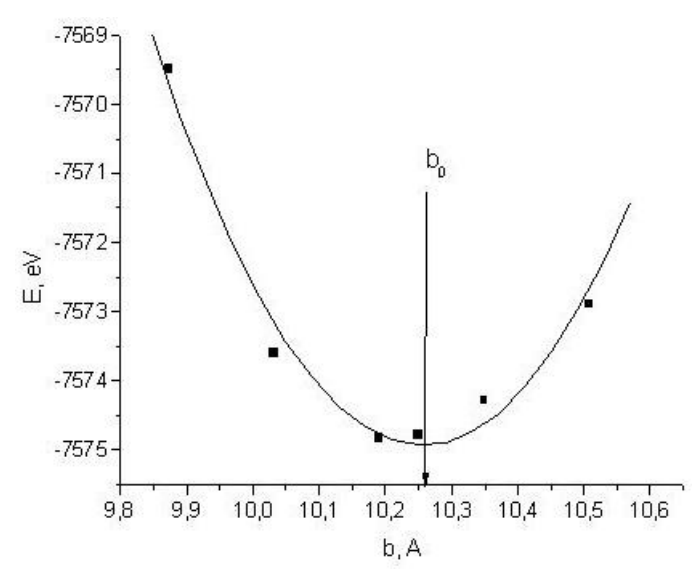
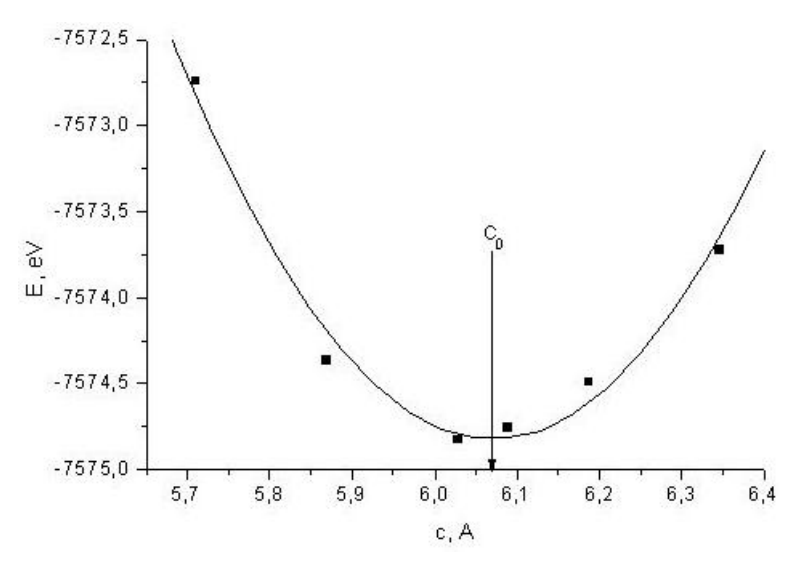


Рис. 3. Зависимость полной энергии от параметра ячейки а.



 $Puc.\ 4.\$ Зависимость изменения полной энергии от параметра b.



Puc. 5. Зависимость полной энергии от параметра c.

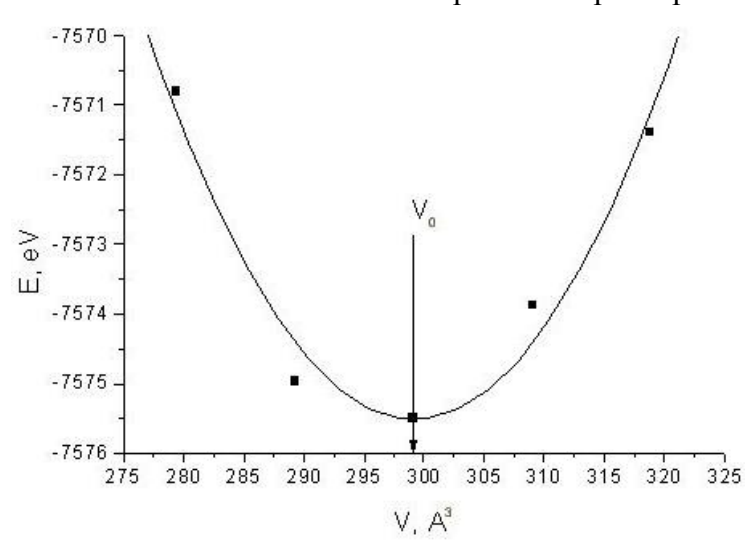


Рис. 6. Зависимость полной энергии от объема ячейки.

В табл. 3 даны равновесные межатомные расстояния для ячейки.

Таблица 3

№	Связь	Å [11]	Расчет, Å
1	Mg1-O4	2.084	2.081
2	Mg1-O5	2.068	2.010
3	Mg1-O6	2.131	2.141
4	Mg2-O4	2.181	2.175
5	Mg2-O5	2.041	2.010
6	Mg2-O6	2.213	2.230
7	Si-O4	1.614	1.609
8	Si-O5	1.655	1.680
9	Si-O6	1.637	1.620

Получив отрелаксированную систему, мы рассчитали энергии связи атомов в ячейке. Один из атомов удаляли из элементарной ячейки на расстояние, при котором силы взаимодействия между атомами несущественны. Определяли энергию связи атома как разницу между энергией связи полной системы и энергией связи системы без одного атома.

В табл. 4 представлены результаты расчета энергий связи атомов в кристалле форстерита.

Таблица 4

Обозначение	эВ [3]	Расчет эВ
Полная энергия системы E <sub>tot</sub>	-7547.40	- 7575.47
Энергия атома магния	-42.05	-22.74
$E_{ m Mg}$		
Энергия атома кремния	-144.64	-101.96
$E_{Si}$		
Энергия атома кислорода E <sub>O</sub>	-421.54	-424.32
Энергия связи	-112.2	-196.59

Нами рассчитана ширина запрещенной зоны форстерита (широкощелевой диэлектрик).

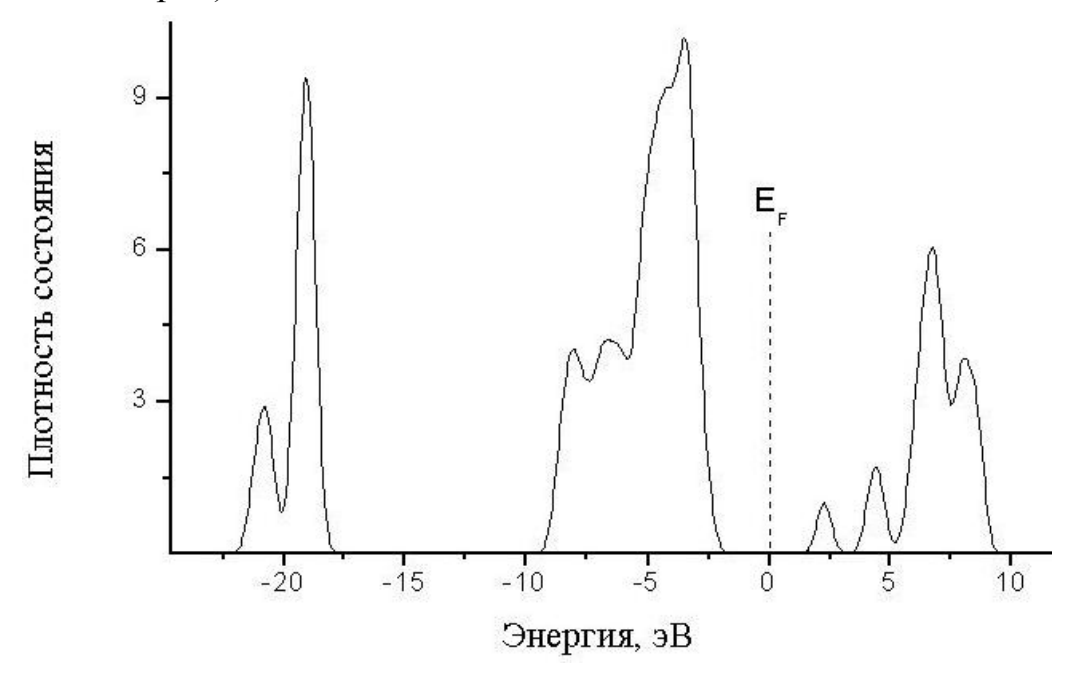


Рис. 7. Распределение электронной плотности.

Ширина запрещенной зоны для данных кристаллов, рассчитанная нами (рис. 7), составляет приблизительно 4,5 эВ. В работе [13] экспериментально установлена ширина запрещенной зоны 6,4 эВ.

Рассчитанные энергии дефектообразования в  $Mg_2SiO_4$  представлены в табл. 5, где V – вакансия.

Обозначение	Значение энергии дефекта, эВ
V(Mg)	16.35
V(Si)	17.14
V(O)	16.20

#### Заключение

В работе рассчитаны энергии дефектообразования с использованием пакета программ fhi96md. В основе расчета лежит метод функционала электронной плотности. Для построения равновесной структуры минимизирована равновесная энергия системы (табл. 1, рис. 3-6). В методе псевдопотенциала в расчет принимаются только валентные электроны, а влияние ядра и остовых электронов учитывается с помощью псевдопотенциалов, подбираемых таким образом, чтобы отклонения экспериментальных значений от значений, рассчитанных с их использованием, составляли не более 2%.

Для проверки правильности подобранных псевдопотенциалов рассчитаны межатомные расстояния в ячейке форстерита (табл. 3). Энергии отдельных атомов в ячейке рассчитаны для определения энергии связи в кристалле (табл. 4). По распределению электронной плотности определена ширина запрещенной зоны (рис.7). Рассчитанные нами с использованием пакета прикладных программ fhi96md энергии дефектообразования согласуются с результатами расчета [2, 3].

#### ЛИТЕРАТУРА

- 1. *Гайстер А.В., Жариков Е.В., Лебедев В.Ф. и др.* // Квантовая электроника. 2004. Т.34. № 8. С.693.
- 2. Walker M., Wright K., Staler B. Phys Chem Minerals. 2003. T.30. P.536-545.
- 3. Brobhol J. American Mineralogist. V.82. P.1049-1053.
- 4. Лебедев В.Ф., Гайстер А. В., Теняков С.Ю., Левченко А.Е., Дианов Е.М., Жариков E.B. // Квантовая электроника. 2003. Т.33.
- 5. Bockstedte M., Kley A., Neugebauer J., Scheffler M. Density-functional theory calculations for poly-atomic systems: electronic structure, static and elastic properties and *ab initio* molecular dynamics. // Comp. Phys. Commun. 1997. V.107. P.187.
- 6. Hohenberg P., Kohn W. Inhomogeneous Electron Gas. // Phys. Rev. 1964. V. 136 P. 864.
- 7. Kohn W., Sham L.J. Self-Consistent Equations Including Exchange and Correlation Effects // Phys. Rev. 1965. V.140 A. P.1133.
- 8. Perdew J. P. and Wang Y. Phys. Rev. B. 1986. V.33. P.8800.
- 9. Troullier N. and Martins J. L. Phys. Rev. B. 1991. V.43. P.1993.
- 10. Fuchs M., Scheffler M. Comp. Phys. Commun. 1999. V.119. P.67.
- 11. http://database.iem.ac.ru/mincryst/rus/s carta.php?Форстерит+1583
- 12. Гопиенко И.В., Ванина Е.А., Астапова Е.С., Грохольский А.В., Калашников А.С. Влияние электронного облучения на структуру кристаллов  $Mg_2SiO_4$  // Вестник АмГУ. 2004. Вып. №25. С.12-15.

# Моделирование систем 2005. №1(9)

13. Morin F.J, Oliver J.R. and Housley R.M. Electrical properties of forsterite, Mg<sub>2</sub>SiO<sub>4</sub> // Phys. Rev. 1977. V.16. №10. P. 4434-4445.

Статья представлена к публикации членом редколлегии Е.С. Астаповой.

УДК 621.9.06

# © 2005 г. Н.А. Грек

(Амурский государственный университет, Благовещенск), **А.Г. Ивахненко,** д-р техн. наук, **О.Н. Подленко** 

(Курский государственный технический университет)

### МОДЕЛИРОВАНИЕ ФОРМООБРАЗОВАНИЯ НА СТАНКАХ С ПАРАЛЛЕЛЬНОЙ КИНЕМАТИКОЙ

Разработаны математические модели формообразующей системы станков с параллельной кинематикой, режущих инструментов и процесса формообразования сложных поверхностей. Полученные модели предназначены для управления процессом формообразования.

#### Введение

Металлорежущие станки с параллельной кинематикой получают широкое применение в качестве альтернативы многокоординатным обрабатывающим центрам традиционной компоновки с последовательным соединением узлов формообразующей системы. Наиболее распространенными являются фрезерные станки с шестью степенями свободы, реализованные на основе платформы Стюарта [1], – гексаподы. Область их применения – обработка сложных поверхностей. Однако использование при синтезе законов управления формообразующей системы этих станков строится на традиционных подходах [2], заключающихся в назначении технологом траектории перемещения режущего инструмента только на основе его личного опыта. Это не позволяет полностью использовать ресурс гексаподов по точности и производительности обработки. В данной работе поставлена и решена задача разработки модели процесса формообразования для станков с параллельной кинематикой.

#### Постановка задачи

Узлы станка с параллельной кинематикой на основе платформы Стюарта и различные виды режущих инструментов рассматриваются как